

Zakład Badawczo Lecznicy Chorób Nerwowo – Mięśniowych
Instytut Medycyny Doświadczalnej i Klinicznej PAN
ul.Pawińskiego 5, 02-106 Warszawa
Tel/ fax /4822/ 608 65 26

Badanie wycinka mięśniowego w mikroskopie świetlnym

Nr: 6/2012

Imię i nazwisko :

Wiek 43

Data pobrania wycinka: 23 I 2012r.

Mięsień: biceps dz.

Barwienie: H-E, trichrom Gomoriego, DHB, DHM, DPNH, ATP-azy

W pobranym wycinku włókna mięśniowe o prawidłowej strukturze i średnicy tworzą pęczki oddzielone niewielką ilością tkanki łącznej. Podział włókien na typy enzymatyczne zachowany prawidłowo. W dehydrogenazie w 2 włóknach widoczny jest plackowaty ubytek aktywności w centrum przypominający zmiany typu „central core” powyższe odchylenie drobne wymaga dalszej oceny w M-E.

Analiza ultrastrukturalna nie wykazała wyraźnych odchyleń od normy poza zwiększoną ilością kropli tłuszczu w celu wykluczenia deficytu palmitylotransferazy karnityny wskazana ocena biochemiczna enzymu.

Analiza biochemiczna palmitylotransferazy karnityny w mięśniu 5,73 nM/mgB/min.
Norma / 6,5 - 18 nM/mgB/min./

Prof. dr hab. A. Fidziańska-Dolot

4714926
Prof. dr hab. med.
Anna Fidziańska-Dolot
specjalista neurolog
02-725 Warszawa
ul. Naczeberska 3 m. 41

Przypadek 6/12 (8/012 ME)

Rozpoznanie:

Fig. 1,2, 3, 4. W obrębie włókien mięśniowych widoczne są krople tłuszczu oraz obserwuje się obecność lipofuscyny.

Fig. 3,4,5. Miejscowo widoczna akumulacja glikogenu i ciała mielinopodobne.

Summary

A 43-year-old patient was examined. A biceps biopsy was performed.

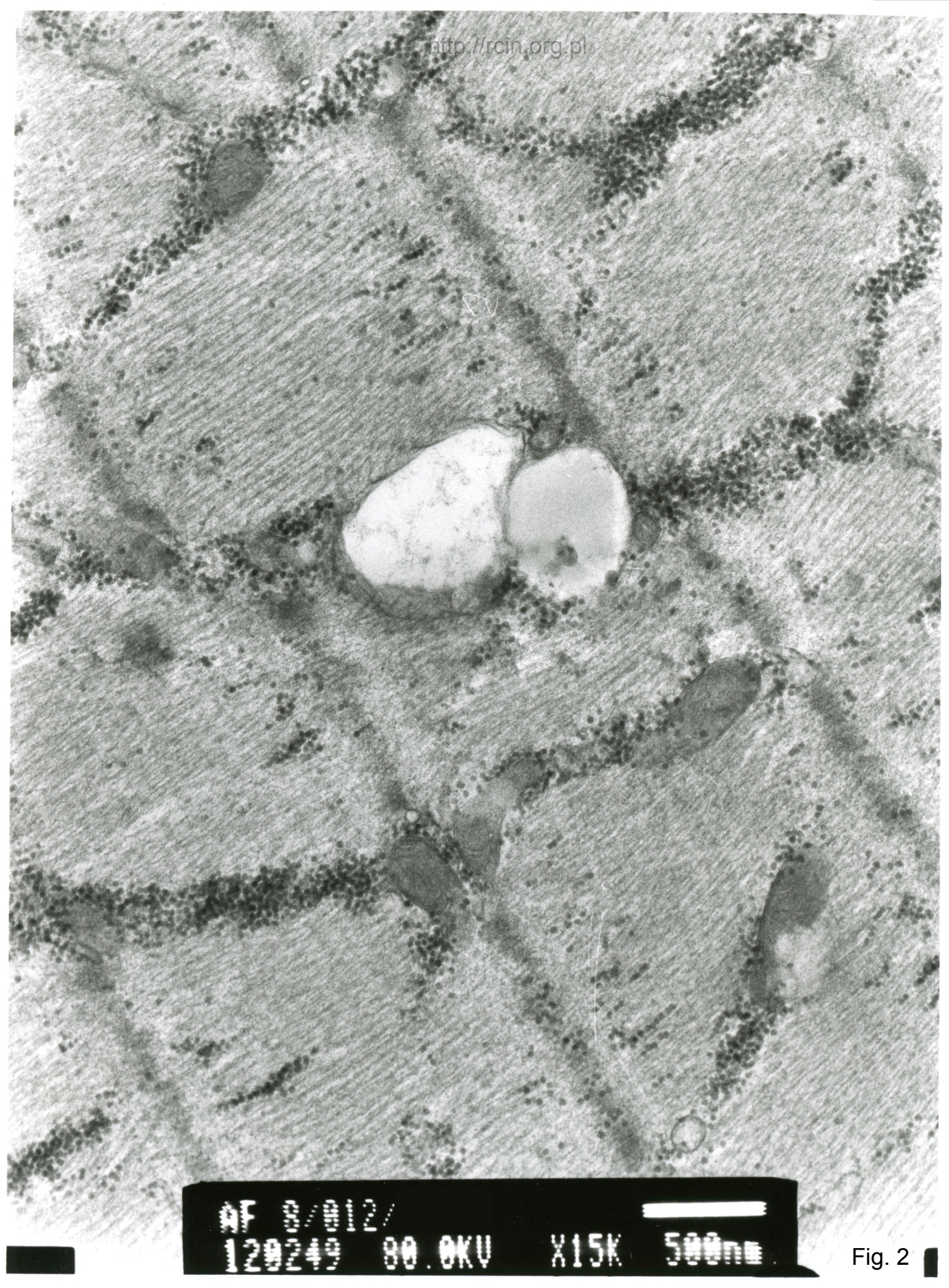
Electronmicroscopy analysis revealed the presence of fat droplets and lipofuscin within the muscle fibers (Fig. 1,2, 3, 4). We observed focal accumulation of glycogen and presence of myelin-like bodies (Fig. 5).

A defect of mitochondrial enzymes was suspected. Biochemical assesment of carnitine palmitoyltransferase is advisable.



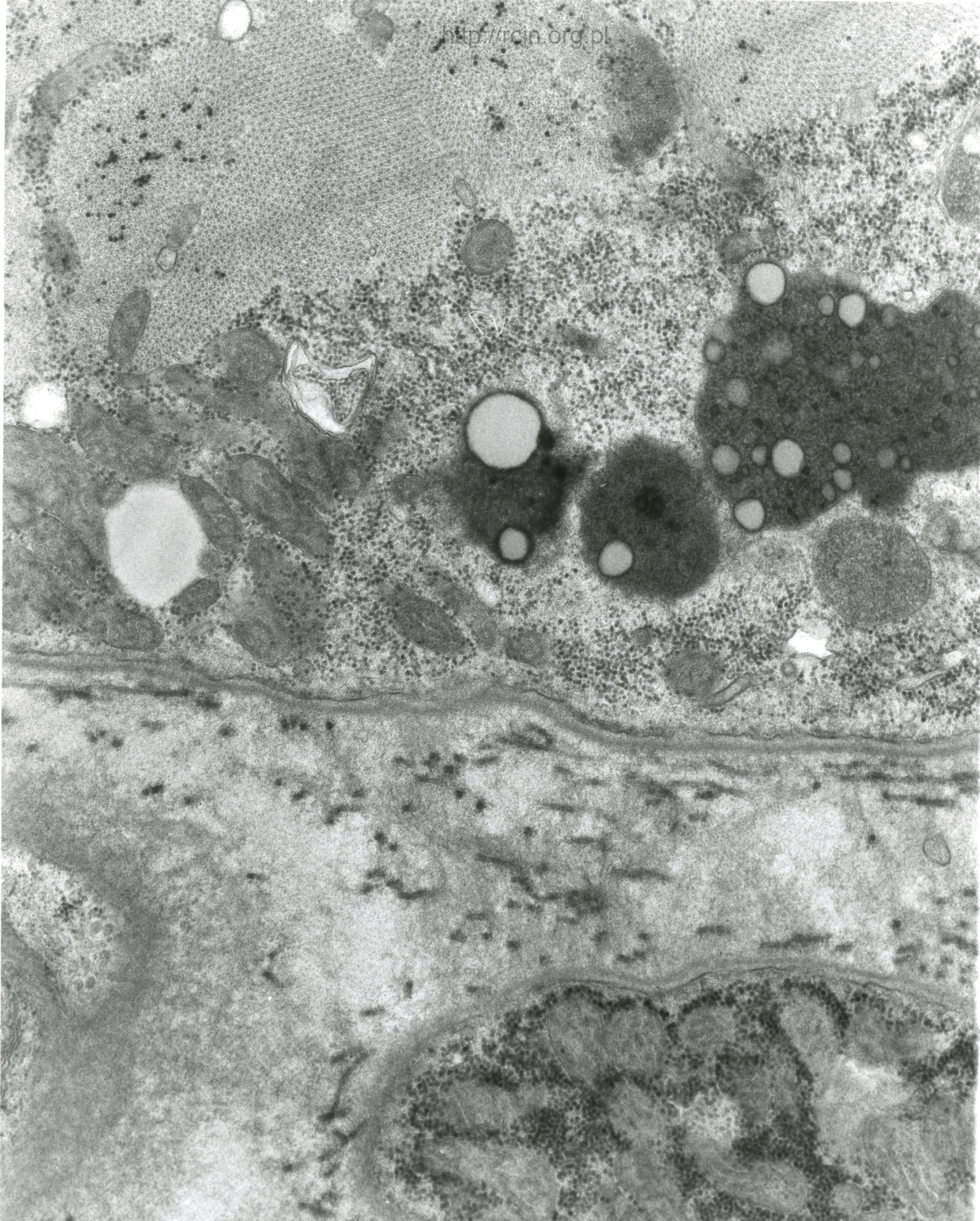
AF 2/812/
100010 00 XVII V10V 500x

Fig. 1



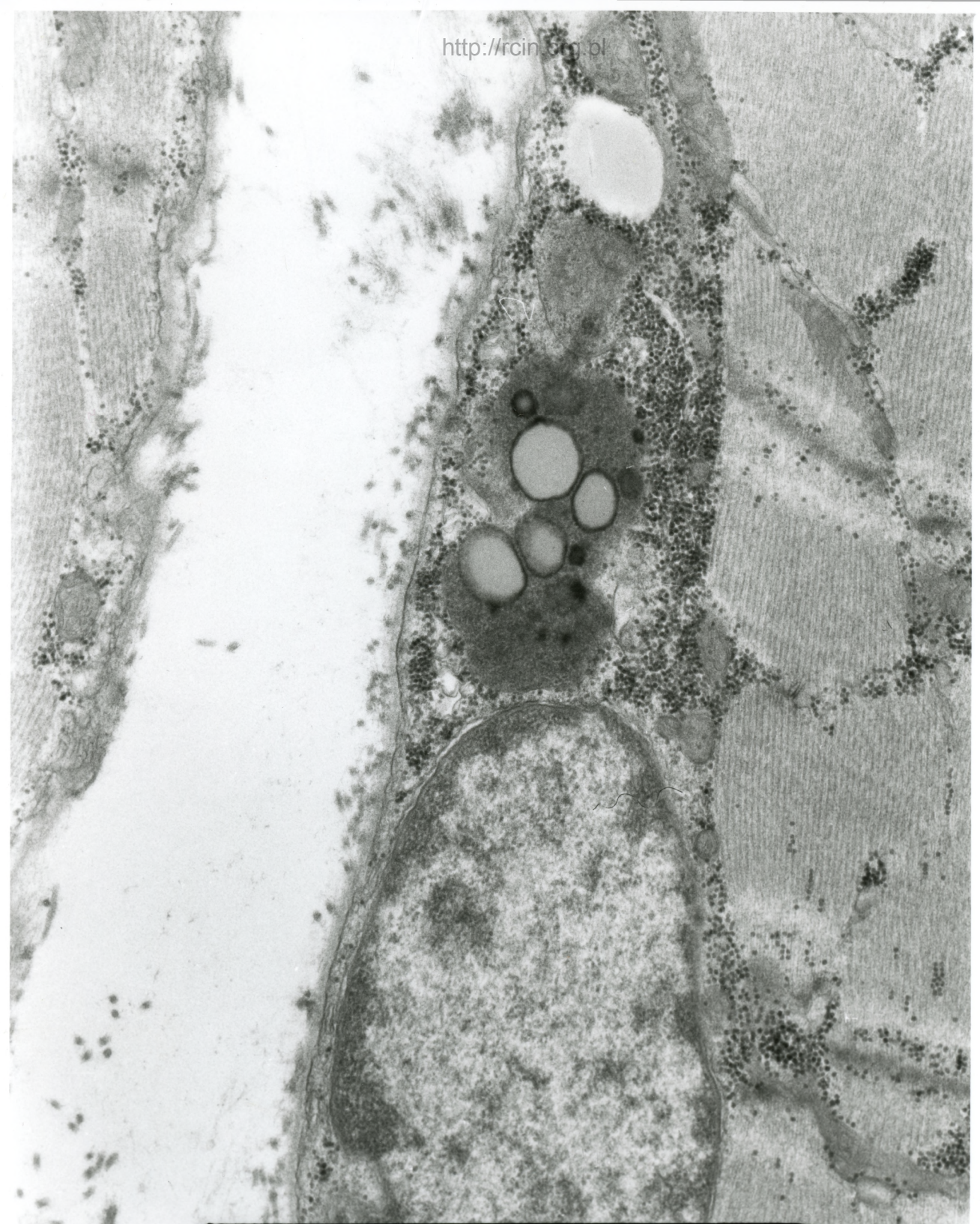
AF 8/912/
129249 80.0KV X15K 500nm

Fig. 2



AF 0/012/
120252 80.0KV X10K 500nm

Fig. 3



AF 8/8/12/
129251 80.0KV X10K 500nm

Fig. 4



#F 3/012/
120253 80.0KV X12K 500nm

Fig. 5